

بیان پروتئین نوترکیب TGF $\beta 1$ در گیاه توتوون و بررسی تأثیر پروتئاز فورین در پردازش فرم نهفته‌ی این پروتئین

سارا خوارزمی^{*}، امین باقی زاده^{*} و مسعود ترکزاده ماهانی

ایران، کرمان، دانشگاه تحصیلات تکمیلی صنعتی و فناوری پیشرفته، پژوهشگاه علوم و تکنولوژی پیشرفته و علوم محیطی، گروه بیوتکنولوژی

تاریخ پذیرش: ۹۷/۴/۱۰

تاریخ دریافت: ۹۶/۸/۳

چکیده

TGF $\beta 1$ ، یک پروتئین تنظیمی چندکاره است که در طیف وسیعی از فعالیت‌های بیولوژیکی مداخله می‌نماید. این پروتئین، ابتدا به صورت یک فرم پیش ساز غیرفعال، حاوی ۳۹۰ اسید آمینه ستر می‌شود که قبل از اتصال به گیرنده‌های TGF $\beta 1$ بر پروتولوژیکی، فرم بالغ TGF $\beta 1$ از پروپیتید آن جدا می‌گردد. فرم بالغ این پروتئین شامل ۱۱۲ اسید آمینه از انتهای C ترمینال فرم غیرفعال آن است. در ابتدا مطالعه، در این توانایی دو سویه‌ی GV3101 و (pMP90RK) آگروباکتریوم برای ترانسفورماتیون گیاه *Nicotiana benthamiana* با ناقل بیان pTRAKc-ERH، به وسیله‌ی ساخت سازه کنترل pTRAKc/ CJG138 (حاوی GFP)، بررسی گردید و نتایج حاصل با تکنیک وسترن بلاست و تصویربرداری کافنوکال ارزیابی شد. سپس، به منظور بیان موقت پروتئین $\beta 1$ از فرم پیش ساز آن در گیاه توتوون، سازه‌های نوترکیب DCF6 و pTRAKc/ DCF7 به ترتیب دارای توالی نگهدارنده شبکه آندوپلاسمی (SEKEDL) و فاقد این توالی طراحی و ساخته شدند. این سازه‌ها به تهابی و در ترکیب با سازه‌ی نوترکیب دیگری که حاوی ژن رمز کننده پروتئاز فورین بود، به گیاهان توتوون مایه‌زنی شدند. نتایج حاصل نشان داد که هر دو سازه با موفقیت در گیاه توتوون بیان می‌شوند. هرچند پردازش کارآمدتر فرم پیش ساز پروتئین $\beta 1$ در گیاهان مایه‌زنی شده با سازه‌ی pTRAKc/ DCF7 نشان می‌دهد که تجمع فرم پیش ساز این پروتئین در شبکه آندوپلاسمی از پردازش آن جلوگیری می‌کند. همچنین، در این تحقیق مشخص شد که بر پروتولوژیکی شبیه به پروتئاز فورین، بین TGF $\beta 1$ بالغ و پروپیتید آن، در *N. benthamiana* اتفاق نمی‌افتد.

واژه‌های کلیدی: پروتئاز فورین، پروتئین نوترکیب TGF $\beta 1$ ، پردازش فرم نهفته‌ی $\beta 1$ ، گیاه توتوون

* نویسنده مسئول، تلفن: ۰۹۱۳۱۴۱۴۱۵۶، پست الکترونیکی: A.baghizadeh@kgut.ac.ir

مقدمه

مهار آنها نقش مهمی را ایفا می‌کند (۶). این پروتئین، در ابتدا به صورت یک فرم پیش ساز غیرفعال، حاوی ۳۹۰ اسید آمینه ستر می‌شود که از دو بخش سیگنال پیتید (۲۹ اسید آمینه از انتهای N ترمینال) و توالی پروپیتید- TGF $\beta 1$ (۱۱۲ اسید آمینه از انتهای C ترمینال) تشکیل شده است. این پروتئین قبل از اینکه بوسیله سلول‌ها ترشح شود، تحت تأثیر چندین مرحله‌ی پردازش درون سلولی قرار می‌گیرد. مهمترین مرحله‌ی پردازش، شکاف پروتولوژیکی حاصل از فعالیت آندوپیتیداز فورین در توالی پروپیتید است که سبب برش

یک خانواده Transforming growth factor β) (TGF β از سایتوکین‌های مهم است و متعلق به ابرخانواده بزرگ (TGF β superfamily) می‌باشد. این سایتوکین در پستانداران دارای سه ایزوفورم TGF $\beta 1$ ، TGF $\beta 2$ و TGF $\beta 3$ است که از طریق دو گیرنده‌ی غشایی I و II پیام خود را به داخل سلول ارسال می‌کند (۴، ۷). ایزوفورم TGF $\beta 1$ ، یک پروتئین تنظیمی چند کاره است که در طیف وسیعی از فعالیت‌های بیولوژیکی مانند تحریک و مهار رشد و تمایز سلولی، پیشرفت سیکل سلولی، رشد سلولهای سرطانی و

کننده‌ی فرم پیش ساز این پروتئین و ناقل بیان- pTRAKc- DCF7 (Fraunhofer Institute, Germany) استفاده شد و سازه‌های نوترکیب DCF6، DCF7 و DCF17 مطابق زیر طراحی و ساخته شدند. همچنین سازه‌های نوترکیب DCI5 (حاوی توالی رمز کننده پروتئاز فورین) و CJG138 (حاوی ژن GFP) به شرح زیر ساخته شدند.

طراحی سازه‌ی نوترکیب DCF6 و ساخت سازه‌ی بیانی pTRAKc/ DCF6 جهت طراحی سازه‌ی DCF6 در ابتدا توالی سیگنال ترشحی (۲۹ اسید آمینه) از انتهای آمینی توالی رمز کننده فرم پیش ساز پروتئین TGF β 1 (NM_000660.5, NP_000651.3) حذف شد. سپس توالی LPH باقیمانده (LAP-TGF β 1)، در پایین دست سیگنال موجود در ناقل بیان pTRAKc-ERH که خود در هدایت پروتئین نوترکیب به سمت شبکه آندوپلاسمی در مسیر ترشحی داخل سلول، نقش مهمی را ایفاء می‌کند قرار داده شد. برای قرارگیری پروتئین TGF β 1 در شبکه آندوپلاسمی، از توالی سیگنال SEKDEL در انتهای کربوکسیل سازه‌ی نوترکیب DCF6 استفاده شد. همچنین به منظور شناسایی پروتئین نوترکیب بیان شده، توالی tag His در انتهای آمینی توالی رمزکننده فرم پیش ساز pTGF β 1، قرار داده شد (شکل ۱). تکثیر قطعه‌ی ۱۱۷۰ جفت بازی سازه‌ی DCF6 با استفاده از آغازگر DCF6^{R1} و آغازگرهای برگشت DCF6^{R2} و DCF6^F (جدول ۱) انجام شد. در واکنش PCR، از یک سازه‌ی نوترکیب حاوی توالی‌های رمز کننده فرم پیش ساز پروتئین TGF β 1 و tag His به عنوان الگو استفاده گردید. سپس محصول PCR برش داده شده با آنزیم *DpnI*، با روش SLIC (Sequence and ligation independent cloning) به درون ناقل بیان pTRAKc-ERH (هضم شده با آنزیم‌های *XbaI* و *NcoI*) همسانه سازی شد.

طراحی سازه‌ی نوترکیب DCF7 و ساخت سازه‌ی بیانی pTRAKc/ DCF7 سازه‌ی نوترکیب DCF7 مشابه سازه‌ی

توالی پروتئینی در اسید آمینه ۲۷۸ گردیده و منجر به Latency-associated LAP (protein TGF β 1) و فرم بالغ این پروتئین شامل ۱۱۲ اسید آمینه از انتهای C ترمینال توالی پیش ساز (فرم غیرفعال) آن است که یک پروتئین هومو دایمر با وزن مولکولی ۲۵ کیلو دالتون را ایجاد می‌کند. این پروتئین شامل ۹ اسید آمینه سیستئین می‌باشد که یکی از آنها، زیر واحدهای مونومر این پروتئین را به یکدیگر متصل می‌نماید (۱۲, ۱۱, ۳). به علت دخالت این پروتئین در فرآیندهای بیولوژیکی متفاوت و کاربرد کلینیکی آن در تست کردن روش‌های درمانی، تا کنون تلاش‌های زیادی برای تولید پروتئین نوترکیب TGF β 1 در سیستم‌های بیانی مختلف صورت گرفته است اما به دلیل پیچیده بودن ساختار این پروتئین و روش‌های خالص سازی آن، دست یافتن به مقادیر زیاد این پروتئین نوترکیب رضایت بخش نبوده است (۱۰, ۱۸, ۱۹). در دو دهه گذشته، استفاده از گیاهان برای تولید پروتئین‌های نوترکیب مورد توجه محققان قرار گرفته است. توانایی گیاهان در انجام تغییرات پس از ترجمه‌ی پروتئین، همانند N- گلیکوزیلاسیون و تشکیل باندهای دی سولفیدی، تولید ارزان پروتئین نوترکیب در مقیاس بالا و کاهش خطر آلدگی پروتئین نوترکیب با پاتوژن‌های انسانی، آنها را به عنوان کارخانه‌ی مناسبی جهت تولید فاکتورهای رشد تبدیل نموده است (۱۸). در این مطالعه، توانایی گیاه *N. benthamiana* در بیان و پردازش پروتئین نوترکیب TGF β 1 از توالی رمز کننده فرم غیر فعال این پروتئین مورد بررسی قرار گرفت و نیز تأثیر بیان همزمان پروتئاز فورین در پردازش پروتئین TGF β 1 حفظ شده در شبکه آندوپلاسمی و پروتئین ترشح شده ارزیابی گردید.

مواد و روشها

طراحی و ساخت سازه‌های نوترکیب: به منظور بیان موقت پروتئین TGF β 1 در گیاه توتون، از توالی رمز

در پایین دست سیگنال LPH قرار داده شد. به منظور نگهداری پروتئین $\beta 1$ TGF و پروتئاز فورین در شبکه آندوپلاسمی، دو توالی سیگنال SEKDEL به ترتیب در انتهای کربوکسیل توالی رمز کننده‌ی فورین و انتهای His کربوکسیل سازه‌ی نوترکیب DCF17 و قبل از توالی tag قرار داده شد (شکل ۱). به منظور ساخت سازه‌ی $p\text{TRAkc}/\text{DCF17}$ در ابتدا قطعه‌ی ۱۱۷۸ جفت بازی از انتهای کربوکسیل سازه DCF17 (بجز توالی فورین)، با استفاده از آغازگرهای رفت DCF17^{F1} و DCF17^{F2} و آغازگر برگشت DCF17^R (جدول ۱) تکثیر شد و پس از هضم با آنزیم *DpnI* با روش SLIC به درون ناقل بیان *p\text{TRAkc}/\text{DCI5}* (هضم شده با آنزیم *NotI*) همسانه‌سازی گردید.

طراطری سازه‌ی نوترکیب CJG138 و ساخت سازه‌ی *p\text{TRAkc}/\text{CJG138}*: در این سازه توالی رمز کننده‌ی زن GFP در پایین دست سیگنال LPH و بالا دست توالی SEKDEL قرار داده شد (شکل ۱). برای ساخت سازه‌ی بیانی *p\text{TRAkc}/\text{CJG138}*، قطعه‌ی ۷۸۷ جفت بازی سازه CJG138، با استفاده از آغازگر فوردار CJG138^{R2} و CJG138^F CJG138^{R1} و آغازگرهای برگشت CJG138^{R2} و CJG138^F (جدول ۱) تکثیر گردید و پس از هضم با آنزیم *DpnI* با روش SLIC به درون ناقل *p\text{TRAkc}-\text{ERH}* (هضم شده با آنزیم‌های *XhoI* و *NcoI*) همسانه‌سازی شد.

در نهایت پلاسمیدهای نوترکیب حاصل، با روش شوک حرارتی به درون سلول‌های مستعد (*E. Coli* (NEB Turbo) ترانسفورم شدند و کلون‌های صحیح (حاوی سازه‌های مورد نظر) با روش تعیین تراالف تأیید گردیدند.

ترانسفورماتیون گیاهان توتوون با آگروباکتریوم حاوی سازه‌های نوترکیب: سازه‌های نوترکیب تأیید شده، به طور جداگانه به درون دو سویه‌ی GV3101 و GV3101 (pMP90RK) آگروباکتریوم ترانسفورم شدند و پس از تهیی سوسپانسیون باکتری، برای مایه زنی گیاه *N. benthamiana*

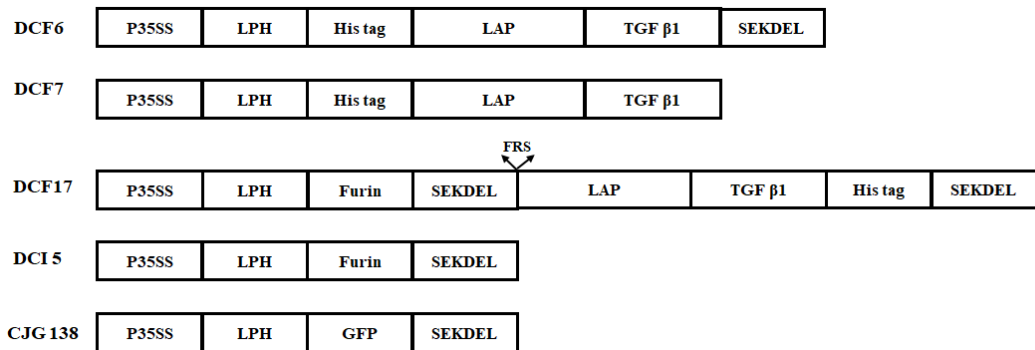
DCF6 طراحی شد، با این تفاوت که در سازه‌ی DCF7 توالی SEKDEL از انتهای کربوکسیل سازه‌ی مورد نظر حذف گردید (شکل ۱). به منظور ساخت سازه‌ی $p\text{TRAkc}/\text{DCF7}$ قطعه‌ی ۱۱۵۲ جفت بازی سازه‌ی DCF7^R DCF7 با استفاده از آغازگرهای DCF7^F و (جدول ۱) تکثیر گردید و پس از هضم با آنزیم *DpnI* با روش SLIC به درون ناقل بیان *p\text{TRAkc}-\text{ERH}* (هضم شده با آنزیم‌های *XhoI* و *NcoI*) همسانه‌سازی شد.

طراطری سازه‌ی نوترکیب DCI5 و ساخت سازه‌ی بیانی *p\text{TRAkc}/\text{DCI5}*: به منظور طباطری سازه‌ی نوترکیب DCI5، در ابتدا توالی سیگنال پیتید (۲۴ اسید آمینه) از انتهای آمینی توالی رمز کننده‌ی پروتئاز فورین (۷۹۴ اسید آمینه، X17094.1، *NotI*) حذف شد و توالی باقیمانده در پایین *p\text{TRAkc}-\text{ERH}* موجود در ناقل بیان SEKDEL قرار داده شد. همچنین توالی‌های tag و His به ترتیب در پایین دست توالی رمز کننده‌ی پروتئاز فورین *p\text{TRAkc}/\text{DCI5}* قرار گرفتند (شکل ۱). جفت ساخت سازه‌ی *p\text{TRAkc}/\text{DCI5}*، در ابتدا قطعه‌ی ۲۳۳۵ جفت بازی *DCI5* استفاده از آغازگر رفت *DCI5^F* و آغازگر برگشت *DCI5^R* (جدول ۱) تکثیر گردید (از پلاسمید حاوی توالی رمز کننده‌ی پروتئاز فورین، خریداری شده از کمپانی addgene، به عنوان الگو در انجام واکنش PCR استفاده شد). سپس قطعه‌ی تکثیر شده به درون سایت *NcoI* و *p\text{TRAkc}-\text{ERH}* ناقل *NotI* همسانه‌سازی گردید.

طراطری سازه‌ی نوترکیب DCF17 و ساخت سازه‌ی بیانی *p\text{TRAkc}/\text{DCF17}*: در طباطری این سازه، توالی رمز کننده‌ی فرم پیش‌ساز پروتئین $\beta 1$ TGF در پایین دست توالی رمز کننده‌ی پروتئاز فورین، قرار داده شد و یک Furin recognition site (R-H-R-R) (FRS) در محل اتصال این دو توالی تعییه شد. لازم به ذکر است، توالی سیگنال پروتئاز فورین در این سازه حذف شد و توالی رمز کننده‌ی پروتئاز فورین

آگرواینفیلتریشن انجام شد. استخراج پروتئین، بالا فاصله بعد از برداشت نمونه‌های برگی انجام شد.

با روش آگرواینفیلتریشن، استفاده گردیدند(۱). نمونه برداری از گیاهان مایه زنی شده ۳، ۵ و ۷ روز پس از



شکل ۱- شکل شماتیک سازه‌های بیانی.

جدول ۱- نام و خصوصیات آغازگرهای مورد استفاده در واکنش زنجیره ای پلیمراز

Primers	Annealing Temperature($^{\circ}$ C)	Size (nt)	Constructs	Sequences from 5' to 3'
DCF6 ^F	62	50	DCF6	GGCACTGCAGGTGTTCACTCCCACCATCACCACCATCACC ATCAC ³ CTGAG
DCF6 ^{R1}	62	46	DCF6	CTAGAGCTCATTTCTCA ¹ GAAGAGCACTTGAGCTCCGC ACGATC
DCF6 ^{R2}	62	53	DCF6	TCTAGAGGATCCGAGCTCGAGCTAGAGCTATCTTC ¹ GAAGAGCACTTC
DCF7 ^R	62	49	DCF7	TCTAGAGGATCCGAGCTCGAGCTAACAGACACTTGAGCTC CGCACGATC
DCI5 ^F	62	43	DCI5	GCTCACATGTACAGGGCCAGAAGGTCTTACCAACACGT GGG
DCI5 ^R	62	45	DCI5	AAGTCGCGGCCGCGAGGGCGCTGGTCTTGATAAAGGC GGTCC
DCF17 ^{F1}	62	76	DCF17	CTCGCGGCCGCTTCAGAAAAGGACGAATTG ¹ CGGCACAGA AGG ³ CTGAGCACAAAGCAAGACCATCGACATGGAACCTGG
DCF17 ^{F2}	62	37	DCF17	GACCAGAGCGCCCTCGCGCCGCTTCAGAAAAGGACG
DCF17 ^R	62	52	DCF17	TGGTATGGTATGAGCGGCCGCGATCCACCGCGAACCA GAGAGCACTTG
CJG138 ^F	62	51	CJG138	GGCACTGCAGGTGTTCACTCCATGGCTATGGTGTCAAAG GCGAAGAACTG
CJG138 ^{R1}	62	57	CJG138	CTAGAGCTCATTTCTCAGA ¹ TTTGTACAGTTCATCCATGC CCAGGGTAATACCAAGC
CJG138 ^{R2}	62	42	CJG138	CTC TAG AGG ATC CGA GCT CGA GCT AGA GCT CAT CTT TCT CAG

در جدول ۱، توالی SEKDEL با شماره ۱، توالی His tag با شماره ۲ و سایت قابل شناسایی فورین (FRS) با شماره ۳ مشخص شده است.

مانند (ds)RNAها و (si)RNAها، از شروع فرآیند خاموشی جلوگیری می‌کند (۱۷). پس از تهیه سوپسانسیون باکتری، این آگروباکتریوم به نسبت مساوی ۱:۱ یا ۱:۱:۱، با سویه‌های آگروباکتریوم حاوی سازه‌های نوترکیب مخلوط گردید و به گیاهان توتون مایه‌زنی شد.

در فاصله‌ی زمانی برداشت تا انجام استخراج پروتئین، نمونه‌های برگ بر روی یخ قرار داده شدند. این آزمایش در دو تکرار انجام شد و از آگروباکتریوم حاوی ژن رمزکننده‌ی بازدارنده خاموشی ۱۹، برای جلوگیری از Post (PTGS) فرآیند خاموشی ژن پس از نسخه برداری (transcriptional gene silencing) استفاده گردید. پروتئین PTGS، با مهار آغازکننده‌های خاموشی ۱۹، با مهار آغازکننده‌های

زنی شده با سویهی GV3101 حاوی سازه‌های نوترکیب: به منظور بررسی توانایی گیاه توتون (*N. benthamiana*) در بیان پروتئین $\beta 1$ TGF و پردازش این پروتئین از توالی pTRAkc/ رمز کنندۀ فرم پیش‌ساز آن، سازه‌های بیان pTRAkc/ DCF7 و DCF6 به طور جداگانه، به درون سویهی GV3101 آگروباکتریوم ترانسفورم شدند. سپس به همراه آگروباکتریوم حاوی ژن رمزکنندۀ بازدارنده خاموشی p19، به درون برگ‌های گیاه توتون مایه‌زنی گردیدند. بیان پروتئین مورد نظر، ۳، ۵ و ۷ روز پس از مایه زنی به وسیله‌ی وسترن بلاست ارزیابی گردید. نتایج وسترن بلاست با دو آنتی بادی Anti-His (شکل ۲) و anti-TGF $\beta 1$ (نتایج نشان داده نشده است) از پروتئین استخراج شده از برگ‌های مایه زنی شده، به ظاهر نشان داد که این سازه‌ها قادر به بیان پروتئین $\beta 1$ در گیاه توتون نمی‌باشد (باندهای پروتئینی ضعیف مشاهده شده در شکل ۲، مربوط به پروتئین مورد نظر نیست). همچنین نتایج حاصل از آلودگی همزمان گیاه توتون با هر یک از سازه‌های مذکور به همراه سویهی GV3101 حاوی پروتئاز فورین نشان داد که پروتئاز فورین، تأثیری در بیان و پردازش پروتئین TGF $\beta 1$ ندارد. نتایج مشابهی نیز از بیان سازه GV3101 در گیاهان مایه زنی شده با سویهی DCF17 آگروباکتریوم حاصل گردید. با توجه به نتایج حاصل، دو فرضیه مطرح شد: ۱) سویهی GV3101 آگروباکتریوم حاوی ناقل‌های نوترکیب pTRAkc قادر به ترانسفورماتیون کارآمد گیاه توتون نمی‌باشد ۲) ترانسفورماتیون گیاه توتون به خوبی انجام شده است اما سازه‌های نوترکیب، قادر به بیان پروتئین $\beta 1$ TGF، در گیاه توتون نیستند. از این رو، به منظور بررسی توانایی سویهی GV3101 آگروباکتریوم در ترانسفورماتیون توتون، سازه بیانی CJG pTRAkc/ ۱۳۸، حاوی ژن رمزکنندۀ GFP، به درون این سویه متنقل گردید و به برگ توتون مایه‌زنی شد. اگرچه نتایج وسترن بلاست، با استفاده از آنتی بادی anti-GFP، باند ضعیفی را در محدوده مورد نظر (۳۲ kDa)

استخراج پروتئین نوترکیب از برگ گیاهان مایه‌زنی شده: در ابتدا ۱/۲ تا ۱ گرم از بافت برگ نمونه‌های جمع آوری شده در ازت مایع پودر گردید و با ۲-۳ میلی‌لیتر بافر (NaCl 8 g/L, KCL 0.2 g/L, Na₂HPO₄ 1.44 g/L, KH₂PO₄ 0.24 g/L, pH 7.4.) گیاه از یک توری عبور داده شد و سوسپانسیون حاصل با سرعت ۱۳۰۰۰ دور در دقیقه، در دمای ۴°C، به مدت ۱۵ دقیقه سانتریفیوژ گردید. عصاره‌ی خام استخراج شده از گیاه، حاوی پروتئین محلول کل (Total soluble proteins) بود که در آزمایشات بعدی به منظور بررسی بیان پروتئین نوترکیب استفاده شد.

آنالیز بیان پروتئین نوترکیب با استفاده از تکنیک وسترن بلاست:

پس از انجام الکتروفورز، باندهای پروتئین از ژل به غشاء PVDF منتقل شدند و بررسی بیان پروتئین نوترکیب Anti-His6-Peroxidase $\beta 1$ ، با استفاده از آنتی بادی‌های Polyclonal rabbit anti-TGFbeta1 antibody (Roche) anti-Ab (Santa Cruz) انجام شد. همچنین از آنتی بادی GFP برای آنالیز بیان پروتئین GFP استفاده گردید. در نهایت، پروتئین‌های مورد نظر به صورت باندهای آبی رنگ (حاصل از فعالیت HRP متصل به آنتی بادی، در حضور سوبسترات ۳,۳',۵,۵'-Tetramethylbenzidine) TMB روی غشاء PVDF، ظاهر شدند.

بررسی بیان پروتئین GFP با استفاده از میکروسکوپ کانفوکال:

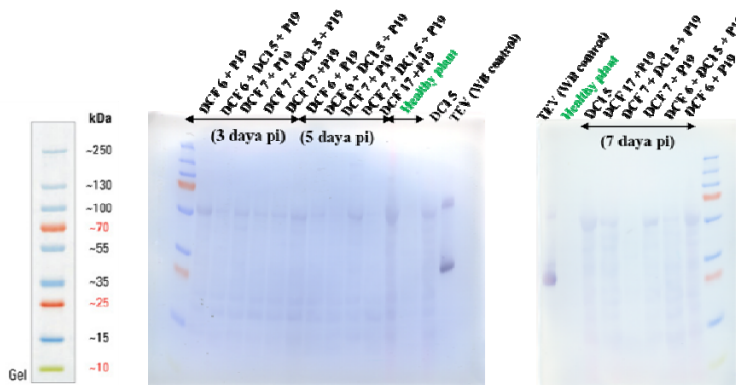
سه روز پس از مایه زنی گیاه توتون با آگروباکتریوم حاوی pTRAkc/ CJG138، قطعه‌ی برگی کوچکی از برگ‌های آگرواینفیلتریت شده جدا گردید و بیان پروتئین GFP در برگ، با استفاده از میکروسکوپ کانفوکال بررسی گردید.

نتایج

بررسی بیان پروتئین نوترکیب TGF $\beta 1$ در گیاهان مایه

احتمالاً سویه‌ی مذکور، قادر به ترانسفورماسیون کارآمد گیاه توتون نمی‌باشد.

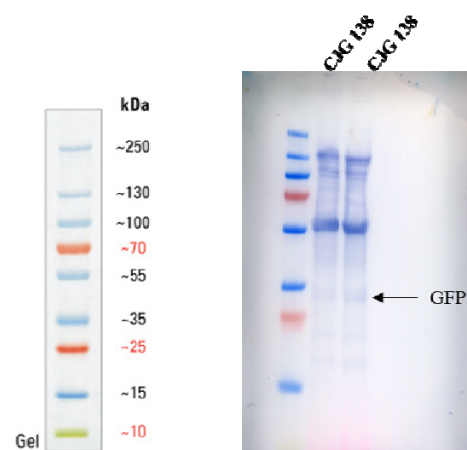
نشان داد (شکل ۳)، اما حضور پروتئین GFP در سلول‌های برگ، با میکروسکوپ فلورسنت قابل مشاهده نبود. در مجموع، بر اساس نتایج حاصل می‌توان اظهار داشت که



شکل ۲- نتایج حاصل از آنالیز وسترن بلاط (آنتی‌بادی anti-His) از پروتئین استخراج شده از گیاهان مایه‌زنی شده با سویه GV3101 (حاوی سازه‌های نوترکیب) ۳، ۵ و ۷ روز پس از مایه‌زنی

pTRAKc/ CJG 138 (pMP90RK)، حاوی

(کترل)، نشان داد که پروتئین GFP، ۳ روز پس از مایه‌زنی، در گیاه توتون بیان می‌شود (شکل A-۴۴). همچنین تصویر برداری کانفوکال از نمونه‌ی برگی گیاه مزبور، تجمع سطح بالای پروتئین GFP را در شبکه آندوپلاسمی نشان داد (شکل ۴). قرار گیری پروتئین GFP در شبکه آندوپلاسمی، به دلیل حضور توالی GFP در انتهای کربوکسیل توالی رمزکننده SEKDEL می‌باشد. بیان موفق GFP در نمونه‌های مایه‌زنی شده با سویه‌ی نوترکیب (pMP90RK)، نشان داد که این سویه‌ی آگروباکتریوم برای ترانسفورم کارآمد گیاه توتون با ناقل بیان pTRAKc مناسب می‌باشد. از این رو سازه‌های pTRAKc/ DCF7، pTRAKc/ DCF6 و pTRAKc/ DCI5 به درون سویه‌ی GV3101 و DCF17 (pMP90RK) ترانسفورم شدند و بیان پروتئین TGF β1، ۳، DCF7 + DCI5، DCF6 + DCI5 و DCF7 به وسیله‌ی وسترن بلاط (آنتی‌بادی Anti-His) ارزیابی گردید. همانطور که در شکل ۵ دیده می‌شود، در نمونه حاصل از گیاهان مایه‌زنی شده با سازه DCF6، یک

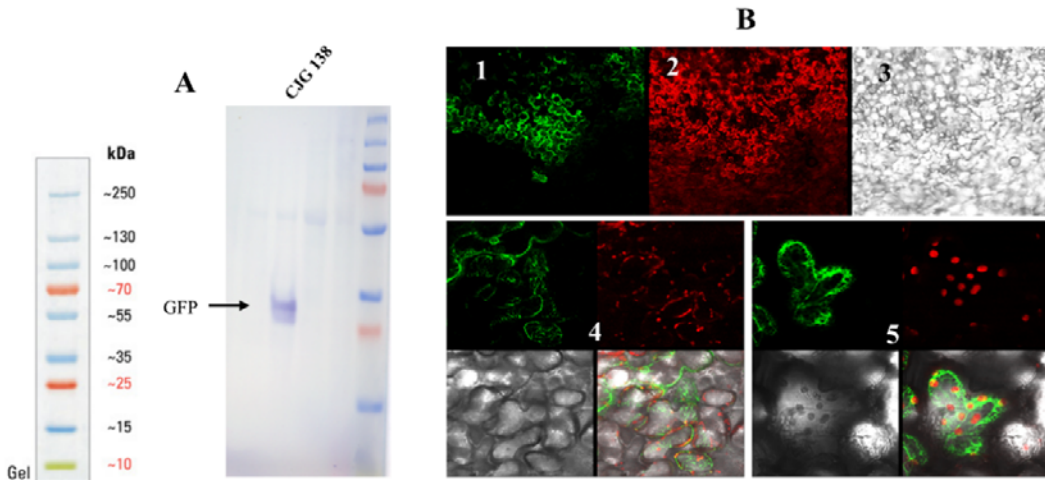


شکل ۳- نتایج حاصل از آنالیز وسترن بلاط (آنتی‌بادی anti-GFP) از پروتئین استخراج شده از گیاهان مایه‌زنی شده با سویه GV3101 حاوی سازه‌ی بیانی CJG 138

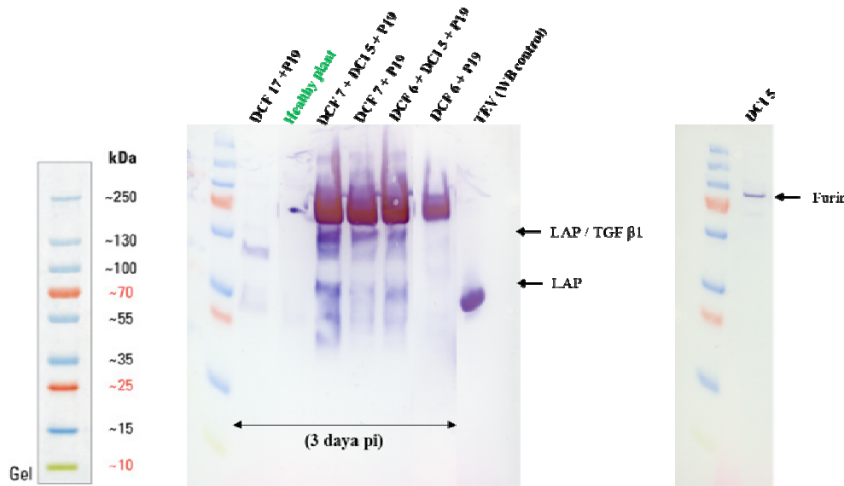
بررسی بیان پروتئین نوترکیب TGF β1 در گیاهان مایه‌زنی شده با سویه‌ی GV3101 (pMP90RK) حاوی سازه‌های نوترکیب: در آزمایش دیگری، سازه‌های GV3101 (pMP90RK)، به درون سویه‌ی آگروباکتریوم منتقل شدند و برای مایه‌زنی گیاه توتون استفاده گردیدند. نتایج وسترن بلاط حاصل از نمونه پروتئینی به دست آمده از گیاه مایه‌زنی شده با سویه‌ی

در نتایج وسترن بلاط علاوه بر باند حدوداً ۷۰ کیلو دالتونی، دو باند در محدوده‌های ۵۵ و ۳۵ کیلو دالتون مشاهده گردید که به ترتیب مربوط به LAP/TGF $\beta 1$ و LAP بود (شکل ۵). مشاهده این باندها نشان داد که احتمالاً بخشی از پروپیتید بیان شده، به درستی گلیکوزیله می‌شود و به درون شبکه ترانس-گلتری منتقل می‌شود، جائیکه تحت تاثیر پروتئاز فورین، LAP از TGF $\beta 1$ جدا گردیده است، اما همچنان با برهمکنش‌های غیرکوالانسی به یکدیگر متصل هستند. این در حالی است که نتایج حاصل از مایهزنی گیاهان با سازه‌ی DCF7 به تنهایی، در مقایسه با سازه‌ی DCF6، علاوه بر باند تقریباً ۷۰ کیلو TGF $\beta 1$ دالتونی، باند ۵۵ کیلو دالتونی مربوط به پروپیتید LAP/ لایه دلتونی، در نتایج وسترن بلاط نشان می‌دهد که به دلیل فقدان توالی سیگنال SEKDEL، در سازه‌ی DCF7 مقدار بیشتری از پروپیتید بیان شده از این سازه، به درستی گلیکوزیله شده است و در مسیر ترشح وارد شبکه ترانس-گلتری می‌شود، اما در آنجا به تنهایی قادر به پردازش و تولید فرم بالغ TGF $\beta 1$ نمی‌باشد.

باند در محدوده‌ی تقریباً ۷۰ کیلو دالتون مشاهده می‌شود. این باند احتمالاً مربوط به ساختار LAP/TGF $\beta 1$ است که از فولدینگ صحیحی برخوردار نمی‌باشد. به طور کلی، LAP/TGF $\beta 1$ انجام اصلاحات پس از ترجمه در ساختار LAP/TGF $\beta 1$ یک فرآیند بیچیده است که در چندین مرحله کترول می‌شود. ترشح دایمرهای فعال TGF $\beta 1$ در مرحله‌ی اول مستلزم دایم شدن پروپیتید LAP/TGF $\beta 1$ در شبکه آندوپلاسمی است (۹). همچنین این ساختار در سه اسید آمینه در موقعیت‌های ۸۲، ۱۳۶ و ۱۷۶ N گلیکوزیله می‌شود (۲، ۱۶). نگهداری این ساختار (نهمتۀ) در شبکه آندوپلاسمی و دستگاه سیس-گلتری، سبب می‌شود که ترشح آن به درون شبکه ترانس-گلتری به آهستگی انجام شود و فقط پروتئین‌هایی به ترانس-گلتری ترشح شوند که به درستی گلیکوزیله شده‌اند (۱۴، ۱۵). بنابراین مشاهده باند تقریباً ۷۰ کیلو دالتونی، در گیاهان آلوده شده با سازه‌ی LAP/TGF $\beta 1$ ، احتمالاً نشان دهنده‌ی پروپیتید DCF6 است که به درستی گلیکوزیله نشده است و به دلیل حضور توالی SEKDEL در انتهای کربوکسیل این سازه به درون شبکه آندوپلاسمی برگشت داده شده است. زمانیکه سازه‌ی DCF6 به همراه پروتئاز فورین به گیاه توتون مایهزنی شد،



شکل ۴- نتایج حاصل از آنالیز وسترن بلاط با استفاده از آنتی‌بادی anti-GFP (A)، و تصویر برداری میکروسکوپ کانفوکال (B) از نمونه‌های برگی گیاه توتون مایهزنی شده با سویه‌ی (p)MP90RK (GV3101) ۳ روز پس از مایهزنی. ۱: پروتئین GFP در شبکه آندوپلاسمی، ۲: انوفلورسانس کلروفیل به رنگ قرمز، ۳: عکس برداری با نور سفید (Bright field)، ۴ و ۵: مشابه موارد ۱، ۲ و ۳، اما با بزرگنمایی بیشتر



شکل ۵: نتایج حاصل از آنالیز وسترن بلاط با استفاده از آنتی‌بادی anti-His از نمونه‌های پروتئین استخراج شده از گیاهان مایه‌زنی شده با سویه GV3101::pMP90RK (حاوی سازه‌های نوترکیب)، ۳ روز پس از مایه‌زنی.

مشاهده گردید (شکل ۵). به علاوه، به منظور بررسی امکان بیان همزمان پروپیتید LAP / TGF $\beta 1$ و پروتئاز فورین از یک سازه‌ی نوترکیب در گیاه توتون و نیز بررسی توانایی این سازه در پردازش فرم نهفته پروتئین $\beta 1$ ، سازه‌ی TGF $\beta 1$ این سازه در pTRAkc / DCF17 به درون آگروباکتریوم ترانسفورم شد و پروتئین استخراج شده از گیاهان مایه‌زنی شده، به وسیله‌ی وسترن بلاط ارزیابی گردید. اما نتایج حاصل از بیان این سازه، رضایت‌بخش نبود (شکل ۵).

بحث

در میان سیستم‌های بیان یوکاریوتوی، گیاهان به دلیل دارا بودن محیط سلولی مناسب برای انجام تغییرات پس از ترجمه و توانایی ایجاد فولدینگ صحیح در محصول پروتئینی، حائز اهمیت هستند. از میان ایزوفرم‌های مختلف پروتئین β , TGF β , تا کنون، تنها بیان ایزوفرم $\beta 3$ در کلروپلاست گیاه *N. tabacum* گزارش شده است. هرچند، پروتئین بیان شده در این سیستم، از فولدینگ صحیحی برخوردار نبوده است (۸). همچنین، همزمان با انجام تحقیق حاضر، Wilber و همکاران در سال ۲۰۱۶، بیان

در صورتیکه، آلدگی همزمان گیاه توتون با هر دو سازه‌ی بیان DCF7 و پروتئاز فورین، منجر به آزاد شدن فرم بالغ TGF $\beta 1$, از پروپیتید آن گردیده است که به صورت دو باند ۵۵ کیلو دالتون (LAP / TGF $\beta 1$) و ۳۵ کیلو دالتون (LAP) در نتایج وسترن بلاط مشاهده می‌شود (شکل ۵).

بررسی تأثیر پروتئاز فورین در پردازش فرم نهفته پروتئین $\beta 1$: نتایج وسترن بلاط، حاصل از آلدگی همزمان گیاهان توتون با سازه‌های حاوی فرم پیش ساز پروتئین $\beta 1$ (DCF6 و DCF7) به همراه سازه‌ی DCI5 (حاوی توالی رمز کننده‌ی پروتئاز فورین)، در مقایسه با گیاهان آلدده شده در غیاب این پروتئاز، نشان داد که پردازش فرم نهفته TGF $\beta 1$ در گیاه توتون، تنها در صورت بیان پروتئاز فورین امکان پذیر می‌باشد. بنابراین، این نتایج نشان می‌دهند که فعالیت پروتئازی، شبیه به پروتئاز فورین در گیاه *N. benthamiana* وجود ندارد. لازم به ذکر است در این آزمایشات به منظور اطمینان از بیان پروتئاز فورین، یک گیاه توتون تنها با آگروباکتریوم حاوی سازه‌ی DCI5 مایه‌زنی شد و بیان این پروتئین با تکنیک وسترن بلاط ارزیابی گردید. پروتئین بیان شده به صورت یک باند حدوداً ۹۸ کیلو دالتونی در نتایج وسترن بلاط

فورین بیان شده، کاهش یافته و تنها بخشی از آن که به شبکه ترانس گلزاری وارد شده است، به درستی پردازش گردیده و قادر به شکاف LAP از TGF $\beta 1$ است. مقایسه‌ی نتایج حاصل از گیاهان آلوود شده با سازه‌های DCF6 + DCF7 + DCI5 و DCI5 - LAP در شبکه آندوپلاسمی سبب کاهش پردازش فرم پیش‌ساز پروتئین $\beta 1$ TGF می‌گردد. احتمالاً با حفظ فرم پیش‌ساز پروتئین در شبکه آندوپلاسمی، این پروتئین قادر نمی‌باشد به درون شبکه ترانس-گلزاری، جائیکه پروتئاز فورین دارای فعالیت است، منتقل شود و تنها بخشی از پروتئین که وارد شبکه ترانس-گلزاری شده است، به درستی پردازش می‌گردد.

در بخش دیگری از این تحقیق، توانایی بیان همزمان TGF $\beta 1$ و پروتئاز فورین از یک سازه‌ی نوترکیب در گیاه توتون به وسیله‌ی ساخت سازه‌ی DCF17 بررسی گردید. اما به دلیل طراحی نادرست این سازه، نتایج حاصل از بیان آن رضایت بخش نبود. علاوه بر اینکه، توالی KDEL موجود در انتهای کربوکسیل توالی‌های فورین و فرم پیش‌ساز پروتئین $\beta 1$, از پردازش صحیح پروتئاز فورین و پروتئین $\beta 1$ در این سازه جلوگیری نموده است، مطالعات انجام شده روی ساختار پروتئاز فورین نشان داد که این پروتئاز یک پروتئین غشایی است که از طریق دمین‌های سیتوپلاسمیک (Cytoplasmic domain) و ترانس ممبرین (Transmembrane domain) به غشاء شبکه ترانس گلزاری متصل شده و در آنجا قرار می‌گیرد و به فرم فعال پروتئاز تبدیل می‌شود. این دمین‌ها در انتهای کربوکسیل توالی رمز کننده‌ی پروتئاز فورین قرار دارند در حالیکه دمین کاتالیتیک (Catalytic domain) و سایت فعال‌سازی آن در انتهای آمینی قرار گرفته است (۱۳). بنابراین از آنجائیکه در سازه‌ی نوترکیب ساخته شده، توالی رمز کننده‌ی فرم پیش‌ساز پروتئین $\beta 1$ TGF در انتهای کربوکسیل پروتئاز فورین قرار گرفته است، احتمالاً از دسترس دومین کاتالیتیک این پروتئاز، خارج بوده و پروتئاز

پروتئین $\beta 1$ فعال را از توالی رمز کننده‌ی فرم پیش‌ساز آن، در گیاه توتون گزارش نمودند (۱۸).

در تحقیق حاضر، توانایی گیاه *N. benthamiana* در بیان موقع پروتئین $\beta 1$ TGF با استفاده از ناقل بیان-ERH مورد بررسی قرار گرفت و پردازش این پروتئین از توالی رمز کننده‌ی فرم پیش‌ساز آن، با مقایسه‌ی پروتئین تجمع یافته در شبکه آندوپلاسمی و پروتئین ترشح شده، در حضور و غیاب پروتئاز فورین ارزیابی گردید. نتایج حاصل نشان داد که فعالیت پروتئازی شبیه به پروتئاز فورین در گیاه *N. benthamiana* وجود ندارد. این نتایج مشابه نتایج Wilber و همکاران بود. آنها نشان دادند که برش پروتئولیتیکی، حاصل از فعالیت پروتئاز فورین، در این گیاه اتفاق نمی‌افتد (۱۸). مطالعات انجام شده نشان می‌دهند که پروتئاز فورین انسانی، یک پروتئین غشایی است که در ابتدا به صورت یک فرم پیش‌ساز (۱۰۴ کیلو دالتون) سنتز می‌شود و سپس با شکاف پروپیتید، در نتیجه‌ی یک فرایند اتوکاتالیتیکی داخل مولکولی، در شبکه آندوپلاسمی به فرم بالغ (۹۸ کیلو دالتون) تبدیل می‌شود. ایجاد این شکاف در پروپیتید، برای خارج شدن فورین از شبکه آندوپلاسمی لازم است. اگرچه این شکاف برای فعال‌سازی فورین ضروری است اما کافی نیست و همچنان پروپیتید به فرم بالغ متصل است. جدا شدن پروپیتید از فرم فعال این پروتئین، با ایجاد شکاف دوم در محیط اسیدی شبکه ترانس گلزاری صورت می‌گیرد و سبب رها شدن فرم فعال فورین می‌گردد. مشخص شده است که با نگه داشتن فورین در شبکه آندوپلاسمی به وسیله‌ی توالی KDEL، فورین قادر به ایجاد شکاف در پروپیتید سایسترتیت‌ها نمی‌باشد و احتمالاً تنها در شبکه ترانس گلزاری دارای فعالیت می‌باشد (۱۵، ۱۳). با توجه به مطالب ذکر شده و نتایج به دست آمده، می‌توان اظهار داشت که مسیر پردازش فورین در گیاه مشابه انسان است و از آنجائیکه در انتهای کربوکسیل توالی رمز کننده‌ی فورین، در سازه‌ی DCI5 توالی SEKDEL قرار داده شده بود، کارآیی پردازش

فناوری در قالب یک دوره تحقیقاتی کوتاه مدت در دانشگاه LMU مونیخ، آزمایشگاه دکتر Serena Schwenkert و شرکت Crelux انجام شد. ناقل بیان این پژوهه از آزمایشگاه پروفسور Rainer Fischer Fraunhofer تهیه گردید. بدین وسیله از تمامی تحقیقاتی این عزیزان نهایت سپاس و قدردانی به عمل می‌آید.

فورین قادر به انجام فعالیت پروتئولیتیکی، در سایت قابل شناسایی نبوده و در نتیجه نتایج رضایت‌بخشی از بیان پروتئین TGF $\beta 1$ به وسیله این سازه در گیاه توون حاصل نگردید.

سپاسگزاری

این پژوهه با حمایت مالی وزارت علوم، تحقیقات و

منابع

- Boes, A., Reimann, A., Twyman, R. M., Fischer, R., Schillberg, S., Spiegel, H. (2016). A plant-based transient expression system for the rapid production of malaria vaccine candidates. *Vaccine Design: Methods and Protocols, Volume 2: Vaccines for Veterinary Diseases*: 597-619.
- Brunner, A.M., Lioubin, M.N., Marquardt, H., Malacko, A.R., Wang, W.C., Shapiro, R.A., Neubauer, M., Cook, J., Madisen, L., Purchio, A.F. (1992). Site-directed mutagenesis of glycosylation sites in the transforming growth factor-beta 1 (TGF beta 1) and TGF beta 2 (414) precursors and of cysteine residues within mature TGF beta 1: effects on secretion and bioactivity. *Molecular endocrinology* (Baltimore, Md.), 6(10): 1691-1700.
- Cerletti, N. (2000). Process for the production biologically active dimeric protein. Google Patents.
- Daopin, S., Piez, K.A., Ogawa, Y., Davies, D.R. (1992). Crystal structure of transforming growth factor-beta 2: an unusual fold for the superfamily. *Science*, 257(5068): 369-373.
- Dubois, C.M., Laprise, M.H., Blanchette, F., Gentry, L.E., Leduc, R. (1995). Processing of transforming growth factor beta 1 precursor by human furin convertase. *The Journal of biological chemistry*, 270(18): 10618-10624.
- Elliott, R.L., Blobel, G.C. (2005). Role of transforming growth factor Beta in human cancer. *Journal of clinical oncology : official journal of the American Society of Clinical Oncology*, 23(9): 2078-2093.
- Frank, S., Madlener, M., Werner, S. (1996). Transforming growth factors beta1, beta2, and beta3 and their receptors are differentially regulated during normal and impaired wound healing. *The Journal of biological chemistry*, 271(17): 10188-10193.
- Gisby, M.F., Mellors, P., Madesis, P., Ellin, M., Laverty, H., O'Kane, S., Ferguson, M.W., Day, A. (2011). A synthetic gene increases TGFbeta3 accumulation by 75-fold in tobacco chloroplasts enabling rapid purification and folding into a biologically active molecule. *Plant Biotechnology Journal*, 9(5): 618-628.
- Gray, A.M., Mason, A.J. (1990). Requirement for activin A and transforming growth factor-PI pro-regions in homodimer assembly, *Science*, 247: 1328-1330.
- Kim, Y.V., Gasparian, M.E., Bocharov, E.V., Chertkova, R.V., Tkach, E.N., Dolgikh, D.A., Kirpichnikov, M.P. (2015). New Strategy for High-Level Expression and Purification of Biologically Active Monomeric TGF- β 1/C77S in *Escherichia coli*. *Molecular biotechnology*, 57(2): 160-171.
- Martelossi Cebinelli, G.C., Paiva Trugilo, K., Badaro Garcia, S., Brajao de Oliveira, K. (2016). TGF-beta1 functional polymorphisms: a review. *European cytokine network*, 27(4): 81-89.
- Munger, J.S., Harpel, J.G., Gleizes, P.E., Mazzieri, R., Nunes, I., Rifkin, D.B. (1997). Latent transforming growth factor- β : structural features and mechanisms of activation. *Kidney international*, 51(5): 1376-1382.
- Nakayama, K. (1997). Furin: a mammalian subtilisin/Kex2p-like endoprotease involved in processing of a wide variety of precursor proteins. *The Biochemical journal*, 327: 625-635.
- Oida, T., Weiner, H.L. (2010). Overexpression of TGF-ss 1 gene induces cell surface localized glucose-regulated protein 78-associated latency-

- associated peptide/TGF-ss. Journal of immunology (Baltimore, Md. : 1950), 185(6): 3529-3535.
15. Rehemtulla, A., Dorner, A.J., Kaufman, R.J. (1992). Regulation of PACE propeptide-processing activity: requirement for a post-endoplasmic reticulum compartment and autoproteolytic activation. Proceedings of the National Academy of Sciences of the United States of America, 89: 8235-8239.
16. Sha, X., Brunner, A.M., Purchio, A.F., Gentry, L.E. (1989). Transforming growth factor beta 1: importance of glycosylation and acidic proteases for processing and secretion. Molecular endocrinology (Baltimore, Md.), 3(7): 1090-1098.
17. Voinnet, O., Rivas, S., Mestre, P., Baulcombe, D. (2003). An enhanced transient expression system in plants based on suppression of gene silencing by the p19 protein of tomato bushy stunt virus. Plant Journal, 33: 949-56.
18. Wilbers, R.H., Westerhof, L.B., Raaij, D.R., Adrichem, M., Prakasa, A.D., Lozano-Torres, J.L., Bakker, J., Smant, G., Schots, A. (2016). Co-expression of the protease furin in *Nicotiana benthamiana* leads to efficient processing of latent transforming growth factor- β 1 into a biologically active protein. Plant biotechnology journal, 14(8): 1695-1704.
19. Zou, Z., Sun, P.D. (2004). Overexpression of human transforming growth factor- β 1 using a recombinant CHO cell expression system. Protein expression and purification, 37(2): 265-272.

Expression of recombinant TGF β 1 protein in tobacco plant and investigation of the effect of Furin protease on processing of the latent form of this protein

**Dept. of Biotechnology, Institute of Science and High Technology and Environmental Sciences,
Graduate University of Advanced Technology, Kerman, I.R. of Iran**

Abstract

TGF β 1 is a multifunctional protein that is involved in several biological processes. This protein is initially synthesized as 390 amino acids biologically inactive latent precursor that prior to binding to the TGF β receptors; undergo proteolytic cleavage, to separate mature form of TGF- β 1 from its propeptide. The mature form of this protein comprise of the C-terminal 112 amino acids from its precursor. In this study, the potential of two agrobacterium GV3101 and GV3101 (pMP90RK) strains were first investigated for the transformation of *Nicotiana benthamiana* with pTRAkc-ERH expression vector by creating the pTRAkc/CJG138 (including GFP) as a control construct. The results were analyzed by western blot technique and confocal imaging. Then, in order to transient expression of TGF β 1 from its precursor sequence in the tobacco plant, recombinant pTRAkc/ DCF6 and pTRAkc/ DCF7 constructs (containing endoplasmic reticulum retention signal (SEKEDL) and the lacking of this sequence, respectively) were designed and generated. Tobacco plants agro-infiltrated with these constructs alone or in combination with another recombinant construct; harbouring the coding sequence for Furin protease. Results showed that the both of these constructs were successfully expressed in tobacco plants. However, more efficient processing of TGF β 1 precursor in infiltrated plants with pTRAkc/ DCF7 construct show that the accumulation of TGF β 1 precursor in endoplasmic reticulum prevent to its processing. In addition, in this research was revealed that a Furin-like cleavage between the mature TGF β 1 and its propeptide does not occur in *N. benthamiana*.

Key words: Furin protease, TGF β 1 recombinant protein, TGF β 1 latent processing, tobacco plant